

# استفاده از ازن و کربن فعال گرانولی در تصفیه پساب صنایع الکل سازی

مجتبی هادوی فر<sup>۱</sup>

حبيب الله يونسی<sup>۲</sup>

علی‌اکبر زینتی زاده<sup>۳</sup>

(دریافت ۸/۱۱/۸ پذیرش ۸/۱۶/۸)

## چکیده

هدف از این تحقیق، تصفیه پساب کارخانه‌های تولید الکل (ویناس) در فرایند ترکیبی ازن و کربن فعال گرانوله (GAC) در سیستم پیوسته بود. سیستم پیوسته توسط ازن و کربن فعال گرانولی به تنهایی و در فرایند توأم GAC/O<sub>3</sub> برای تعیین میزان اثر هم‌افزایی GAC و ازن بر حذف رنگ و COD ویناس حاصل از فرایند تولید آزمایشگاهی اثانول از ملاس نیشکر بررسی گردید. آزمایش‌های پیوسته با میزان ازن ۲۴۰ میلی‌گرم بر ساعت و در دمای محیط و میزان دز GAC معادل ۱۰۰ گرم انجام گرفت. کارایی ازن در حذف رنگ (۷۴ درصد) بیشتر از حذف COD (۲۵ درصد) در شرایط بهینه بود. فرایند GAC/O<sub>3</sub> اثر هم‌افزایی بر حذف رنگ و COD ویناس نداشت، بلکه اثر منفی داشت که البته این اثر منفی با افزایش pH ویناس روده کاهش یافت. مطالعات نشان داد که تغییر pH اثر زیادی در هر سه فرایند تصفیه دارد.

**واژه‌های کلیدی:** ویناس، ملاس نیشکر، تصفیه پساب، pH، COD

## Application of Ozone and Granular Activated Carbon for Distillery Effluent Treatment

Mojtaba Hadavifar<sup>1</sup>

Habibollah Younesi<sup>2</sup>

Aliakbar Zinatizadeh<sup>3</sup>

(Received Feb. 7, 2009 Accepted July. 7, 2009)

### Abstract

The main objective of this study was to investigate the treatment of distillery vinasse through the integrated process of ozone oxidation and Granular Activated Carbon (GAC) in a continuous process. The continuous process was carried out both by each of the GAC and ozone processes alone and by the combination of the two in order to investigate the synergistic effects of the two modes on COD and color removal in the treatment of vinasse from laboratory ethanol production from cane molasses. The continuous processes were performed at an ozone generation rate of 240mg/h, GAC dose of 100g, and at room temperature (25°C). Color removal efficiency of O<sub>3</sub> was higher than its COD removal from vinasse. The COD and color removal efficiencies of the O<sub>3</sub> process were about 25% and 74%, respectively. Moreover, GAC/O<sub>3</sub> process was found to negatively affect the synergy of COD and color removal efficiency from distillery vinasse. This negative effect decreased by increasing influent pH level. The results indicate that the initial pH has a considerable effect on the three processes investigated.

**Keywords:** Vinasse, Cane Molasses, Wastewater Treatment, pH, COD

- Ph.D. Student of Environmental Pollution, Tarbiat Modarres University, Tehran
- Assist. Prof. of Environmental Engineering, Tarbiat Modarres University, Tehran (Corresponding Author) (+98 122) 6253101 hunesi@modares.ac.ir
- Assist. Prof. of Chemistry, Dept. of Engineering, Razi University, Kermanshah

- دانشجوی دکترای آلوگی محیط زیست، دانشگاه تربیت مدرس، تهران
- استادیار گروه محیط زیست، دانشگاه تربیت مدرس، تهران (نويسته مسئول)  
hunesi@modares.ac.ir (۰۱۲۲) ۶۲۵۳۱۰۱
- استادیار گروه شیمی، دانشکده مهندسی، دانشگاه رازی، کرمانشاه

## ۱- مقدمه

که به میزان ۷۰ درصد رقیق شده بود، ۹۹ درصد رنگ و نیز ۹۰ درصد BOD و COD حذف شد [۹]. در مطالعات دیگر عنوان شده است که جذب توسط کربن فعال برای تصفیه ویناس مؤثر نیست و جذب توسط پودر کربن فعال<sup>۴</sup> تنها ۱۸ درصد رنگ را حذف می‌کند، ولی در ترکیب با فرایند لخته‌سازی و لخته‌گیری تقریباً همه رنگ حذف می‌شود [۱۰]. توانایی ازن در اکسیداسیون مستقیم ویناس در حضور  $\text{Fe}_2\text{O}_3$  به عنوان کاتالیست توسط سریفاوونگ<sup>۵</sup> و چاواج<sup>۶</sup> مطالعه شده است [۱۱]. آلوارز و همکاران<sup>۷</sup>، اثر کربن فعال گرانولی<sup>۸</sup> را در فرایند تجزیه ازن محلول به رادیکال هیدروکسیل را بررسی کردند [۱۲]. اکسیداسیون با ازن می‌تواند ۸۰ درصد رنگ ۱۵ تا ۲۵ درصد COD را کاهش دهد و نیز قابلیت تصفیه زیستی پساب را بهبود ببخشد [۱۳].

اوگاز<sup>۹</sup> و کسکینلر<sup>۱۰</sup> برای حذف نوعی رنگ از پساب صنایع نساجی در یک راکتور نیمه بسته، از PAC و ازن استفاده کردند [۱۴]. آنها دریافتند که ازن فرایند مؤثرتری برای حذف رنگ است، اما برای حذف COD به تهایی مؤثر نیست. کربن فعالی که در فرایند توأم  $\text{O}_3/\text{PAC}$  استفاده می‌شود هم نقش جذب کنندگی و هم نقش کاتالیزور دارد. به علت این اثر هم‌افزاوی (R)، استفاده از فرایند  $\text{O}_3/\text{PAC}$  روشی مؤثر می‌یابد. اوگاز و کسکینلر در مطالعه‌ای دیگر به منظور حذف رنگ و COD از پساهای سنتز شده نساجی دریافتند که ازن می‌تواند خصوصیات سطحی کربن فعال مانند مساحت سطح ویژه، حجم منافذ و گروه عاملی را تغییر دهد که این عمل قابلیت جذب سطحی آن را افزایش می‌دهد [۱۵]. لی و همکاران<sup>۱۱</sup> با استفاده همزمان از ازن و کربن فعال گرانولی در تصفیه پساب صنعتی دریافتند که استفاده توأم این دو دارای اثر هم‌افزاوی در کاهش COD است و به علاوه باعث بیشتر شدن کارایی ازن و طول عمر کربن فعال می‌گردد [۱۶].

تاکنون در مورد بررسی اثر توأم ازن و کربن فعال گرانولی در تصفیه ویناس مطالعه‌ای صورت نگرفته است. در این تحقیق برای اولین بار اثر هم‌افزاوی ازن‌زنی و فرایند جذب توسط GAC در تصفیه ویناس بررسی شد.

به علت مشکلات آلودگی، تصفیه فاضلاب کارخانه تولید الكل از ملاس که عموماً به نام ویناس<sup>۱</sup> معروف است، یکی از مهم‌ترین مضلات تولید الكل است. ویناس حاوی مقادیر BOD، COD و نسبت COD/BOD و نیز پتانسیم، سولفور و سففات بالا است. به علاوه حاوی ترکیباتی با وزن مولکولی پایین مانند اسید لاکتیک، گلیسرول، اتانول و اسید استیک نیز است [۱]. یک کارخانه تولید اتانول روزانه با تولید ۱۰۰ متر مکعب اتانول، ۱۳۰۰ میزان COD بالا تا ۶۰ هزار میلی‌گرم در لیتر است [۲]. میزان COD بین ۸۰ هزار تا ۱۰۰ هزار میلی‌گرم در لیتر، pH پایین، بوی شدید و رنگ قهوه‌ای تیره از مشخصات ویناس است. بزریل اولین تولید کننده اتانول در جهان و هندوستان دومین تولید کننده اتانول در آسیا به شمار می‌رود که میزان تولید آن در سال ۲۰۰۶ تا ۲۰۰۷ تا ۲۰۰۷ میلیون لیتر اتانول بوده است. این کارخانه‌ها جزو ۱۷ صنعت با آلودگی شدید هستند [۳]. ملاس همچنین شامل ۲ درصد رنگدانه قهوه‌ای تیره به نام ملانوئیدین است که به ویناس رنگ می‌دهد [۴]. ملانوئیدین‌ها پلیمرهایی با وزن مولکولی پایین و بالا هستند که طی واکنش میلارد<sup>۲</sup> از واکنش بین قندهای کاهش پذیر و ترکیبات آمینو تشکیل می‌شوند. فرایند تصفیه توأم هوازی-بی‌هوازی تنها ۶ تا ۷ درصد ملانوئیدین را حذف می‌کند. ملانوئیدین باعث ایجاد رنگ قهوه‌ای در ملاس می‌گردد که بعد از تخمیر الكلی در ویناس باقی مانده و باعث آلودگی می‌گردد [۵]. به غیر از ملانوئیدین، ویناس شامل دیگر ترکیبات رنگی مانند فنل‌ها، کارامل و ملانین نیز هست. فنل‌ها در ملاس نیشکر و ملانین در ملاس چغندر وجود دارد [۶]. تخمین زده می‌شود که ۸۸ درصد ملاس بعد از پروسه تولید الكل به صورت پساب دفع می‌شود [۷].

توانایی کربن فعال برای جذب مواد آلی، مربوط به خواص سطحی و بافتی آن است. طبیعت آبگریزی و غیر قطبی ماده جاذب کربن فعال سبب حذف مواد آلی رنگی می‌شود. کربن فعال به طور گسترده برای حذف آلاینده‌های آلی از پساب استفاده می‌شود، اما به سبب قیمت زیاد استفاده از آن محدود شده است [۳]. حذف رنگ از ملانوئیدین سنتز شده، با کربن فعال تجاری و کربن فعال تولید شده از پسماندهای نیشکر توسط برناردو و همکاران<sup>۳</sup> بررسی شده است [۸]. بستر فشرده کربن فعال خاصیت رنگبری زیادی را بعد از تصفیه بهروش بی‌هوازی از خود نشان داده است. در نمونه‌ای

<sup>4</sup> Powder Activated Carbon (PAC)

<sup>5</sup> Sreethawong

<sup>6</sup> Chavadej

<sup>7</sup> Alvarez et al.

<sup>8</sup> Granular Activated Carbon (GAC)

<sup>9</sup> Oguz

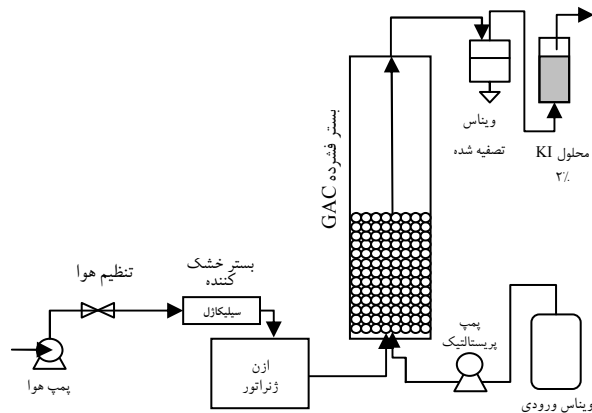
<sup>10</sup> Keskinler

<sup>11</sup> Lei et al.

<sup>1</sup> Vinassee

<sup>2</sup> Maillard

<sup>3</sup> Bernardo et al.



شکل ۱- طرح راکتور GAC و ازن جهت تصفیه ویناس

خروجی وارد دکانتور شده و هوای خروجی حاوی ازن توسط آن از پساب خروجی جدا و به محلول ۲ درصد KI وارد شد. ازن توسط دستگاه تولید کننده ازن مدل فرانس<sup>۳</sup> - ۵۵ COG که توسط قوس الکتریک تولید ازن می‌کند، با حداقل میزان ۰/۰ گرم در ساعت با جریان ۹ لیتر بر دقیقه هوای تولید شده و با یک سنگ هوای سنتون تزریق شد. هوای مورد نیاز دستگاه تولید کننده ازن توسط یک پمپ هوای تأمین شده که قبل از ورود به دستگاه از یک ستون خشک کننده سیلیکاژل عبور داده شد و میزان جریان ورودی آن توسط رگولاتور دستی به میزان نیاز تنظیم گردید. کلیه اتصالات توسط فوار نفلون آب‌بندی گردید. طرح راکتور در شکل ۱ نشان داده شده است.

ویناس توسط پمپ پریستالتیک<sup>۴</sup> مدل ۵۱۰۱ کارخانه هدلف<sup>۵</sup> هدلف<sup>۶</sup> ساخت آلمان، وارد ستون شد و میزان جریان (دبی) آن حد یک میلی لیتر در دقیقه تنظیم شد. زمان ماند ویناس تا بالاترین سطح GAC در راکتور ۷۵ دقیقه بود. نمونه‌گیری از خروجی ستون در فواصل زمانی مشخص انجام پذیرفت و ازن باقی‌مانده محلول توسط گاز نیتروژن و کربن فعال باقی‌مانده توسط سانتریفیوژ با دور توان ۳۵۰۰ rpm به مدت ۱۰ دقیقه از نمونه‌ها جدا گردید.

### ۳-۲- تهیه ویناس و روش آنالیز نمونه‌ها

ویناس مورد استفاده در این مطالعه از فرایند تولید آزمایشگاهی اتانول از ملاس نیشکر توسط مخمر ساکاروما یسیس سرویسیه<sup>۷</sup> تهیه گردید. جدول ۱ پارامترهای فیزیکی و شیمیایی ویناس را نشان می‌دهد که طبق استاندارد متد اندازه‌گیری شده است [۱۷].

<sup>۳</sup> France

<sup>۴</sup> Peristaltic

<sup>۵</sup> Heidolph

<sup>۶</sup> *Saccharomyces Cervisiae*

## ۲- مواد و روشها

### ۲-۱- مطالعات سیستم پیوسته

در سیستم پیوسته، ده تیمار انجام شد. آزمایش‌ها در سه سطح pH ۲، ۶ و ۱۰ انجام شد که هر pH به طور جداگانه شامل سه تیمار بود: ازن دهی تنها، کربن فعال تنها و فرایند تواأم ازن دهی و کربن فعال (GAC/O<sub>3</sub>). زمان آزمایش برای مرحله کربن فعال تنها و فرایند تواأم با توجه به زمان خستگی کربن فعال برای جذب، ۷۴۰ دقیقه و برای مرحله ازن دهی تنها، ۲۶۰ دقیقه بود. میزان ازن خروجی در کلیه تیمارها ۲۴۰ میلی گرم در ساعت، مقدار COD، ۱۰۰۰۰ میلی گرم در لیتر، دمای محیط ۲۵ درجه سلسیوس و میزان GAC ۱۰۰ گرم بود. در مرحله ازن دهی تنها، به جای GAC دانه‌های پلی پروپیلن (PP) شرکت پلی نار<sup>۸</sup> تبریز به عنوان یک ماده ماده بی اثر استفاده شد تا سطح تماس و مقدار ویناس در تماس با ازن با فرایند تواأم یکسان باشد. نمونه‌گیری در فواصل تعیین شده انجام شد و میزان حذف COD و رنگ در این فواصل نیز به صورت کلی تعیین شد. درصد ازن مصرف شده و میزان کارایی ازن و میزان اثر همیشی تعیین شدند [۱۶].

### ۲-۲- راکتور GAC و ازن

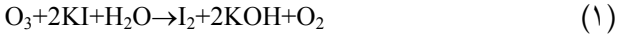
در این مطالعه برای تصفیه ویناس به صورت پیوسته از راکتور GAC و ازن استفاده شد. راکتور شامل یک ستون لوله‌ای از جنس پلکسی گلاس<sup>۹</sup> با قطر بیرونی ۵، قطر داخلی ۴/۳۹ و طول ۹۰ سانتی‌متر بود. حجم راکتور ۱۳۶۰ میلی لیتر که ۱۴ سانتی‌متر پایین آن یعنی معادل ۲۱۱ میلی لیتر، با ۱۰۰ گرم GAC پر شد. در این ستون دو ورودی از قسمت پایین برای ورود ویناس و ازن و یک خروجی در بالا برای خروج ویناس تصفیه شده، تعییه شد. مایع

<sup>۸</sup> Polinar

<sup>۹</sup> Plexiglass

۱۰ میلی‌لیتر از نمونه به سل مخصوص فوتومتر انتقال داده شد و با طول موج ۴۱۰ نانومتر، شدت رنگ بر حسب ppm ارائه شد. از آب مقطر به عنوان شاهد استفاده گردید.

در کلیه مراحل آزمایش میزان ازن توسط روش تیتراسیون اندازه‌گیری شد. در این روش از محلول دو درصد KI به عنوان دام<sup>۵</sup> استفاده شد. ۲۵۰ میلی‌لیتر از این محلول در یک استوانه مدرج ۲۵۰ میلی‌لیتر ریخته شد و در زمان مشخص گاز ازن به داخل آن دمیده شد. با گذشت زمان رنگ محلول از شفاف به زرد و سپس به قهوه‌ای طبق رابطه ۱ تغییر یافت



بعد از گذشت زمان لازم، ید تولید شده در این محلول تا مرز بی‌رنگ شدن، با تیوسولفات سدیم ۱/۰ نرمال طبق رابطه ۲ تیتر شد



این واکنش در محیط اسیدی انجام پذیرفت. برای این منظور ۲۰ میلی‌لیتر محلول ۱/۰ نرمال H<sub>2</sub>SO<sub>4</sub> به آن اضافه شد. از محلول چسب نشاسته برای تعیین نقطه پایانی تیتراسیون استفاده شد. در نهایت با توجه به مقدار تیوسولفات مصرفی و با استفاده از رابطه ۳ میزان ازن اندازه‌گیری شد

$$(3) \quad g/l O_3 = \frac{[Na_2S_2O_3] \times V_{Na_2S_2O_3} \times 48}{250 \times 4}$$

که در آن غلظت تیوسولفات (۱/۰ نرمال) در حجم مصرف شده برحسب میلی‌لیتر آن برای تیتراسیون و جرم مولکولی O<sub>3</sub> (۴۸ گرم بر مول) ضرب شده و بر حجم KI دو درصد (۲۵۰ میلی‌لیتر) ضرب در تعداد الکترون مبادله شده (برابر ۴) تقسیم شده است [۱۹].

### ۳- نتایج و بحث

**۳-۱- اثر pH بر عملکرد GAC در سیستم پیوسته**  
شکل ۲ میزان حذف رنگ و COD با مقدار ۱۰۰ گرم GAC، میزان جریان عبوری ویناس ۱ میلی‌لیتر در دقیقه، میزان COD ورودی حدود ۱۰۰۰۰ میلی‌گرم در لیتر را با تغییر pH نشان می‌دهد. با توجه به شکل ۲ مشاهده می‌شود که با افزایش pH از میزان درصد حذف COD کاسته می‌شود ولی در مورد حذف رنگ، میزان کاهش pH معادل ۱۰ کاهش می‌یابد. در حالی که روند ۳۱ درصد در pH معادل ۷۴ درصد در pH معادل ۲ به ۵۲ درصد در pH کاهش COD از ۱۰ کاهش می‌یابد. میزان pH محلول بر مکانسیم جذب و

<sup>۵</sup> Trap

جدول ۱- پارامترهای فیزیکی و شیمیایی ویناس

پارامترها	مقادیر
رنگ	قهوه‌ای تیره
pH	۵
(mg/L) COD	۴۰۷۰۰
(mg/L) BOD <sub>5</sub>	۲۰۰۰۰
(mg/L) فسفات	۳۰۰
(mg/L) سولفات	۱۷۵۰۰
(mg/L) نیترات	۳/۹۹
(mg/L) نتریت	۰/۷
(mg/L) آمونیوم	۳۳۶۰
(mg/L) کلرید	۳۶
(g/L) TS	۴۲
(g/L) خاکستر	۱۴/۶۲

طبق روش کالریمتری رفلکس بسته<sup>۱</sup> موجود در کتاب روشهای استاندارد آزمایش آب و پساب اندازه‌گیری شد. از محلول استاندارد KHP با غلظت ۵۰۰ میلی‌گرم در لیتر، محلولهایی با غلظتهای ۵۰، ۱۰۰، ۲۰۰، ۳۰۰ و ۵۰۰ میلی‌گرم در لیتر ساخته شد. برای تعیین منحنی کالیبراسیون و اندازه‌گیری COD ۲/۵ میلی‌لیتر از این محلول که در صورت لزوم به اندازه کافی رقیق شده بود در ویال مخصوص ریخته و سپس واکنشگرهای COD به آن افزوده شد و درب ویال محکم بسته و به مدت ۱۲۰ دقیقه در دمای ۱۵۰ درجه سلسیوس در دستگاه ترموراکتور<sup>۲</sup> قرار داده شد تا هضم صورت گیرد. بعد از خنک شدن میزان جذب محلول در طول موج ۶۰۰ نانومتر توسط دستگاه فوتومتر پالینتست<sup>۳</sup> ۸۰۰ ساخت کشور انگلیس قرائت گردید. منحنی کالیبراسیون توسط نرم افزار سیگما پلات<sup>۴</sup> تعیین گردید. از معادله حاصله برای تعیین میزان COD نمونه‌های بعدی استفاده شد.

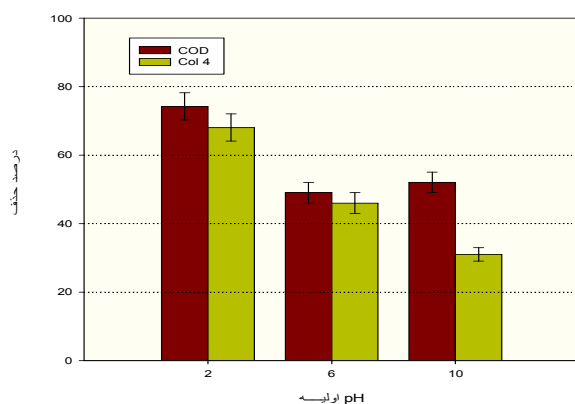
آب خالص در حالت انباشتگی دارای رنگ آبی روشن است. این رنگ ممکن است در اثر وجود مواد آلی از زرد تا قهوه‌ای تغییر کند. یک روش ساده برای اندازه‌گیری شدت رنگ استفاده از دستگاه فوتومتر پالینتست است. طبق این روش رنگ آب بر حسب مقیاس پلاتین/کبالت (Pt/Co) (یان می‌شود، هر واحد آن برابر با میزان رنگی است که توسط ۱ میلی‌گرم در لیتر پلاتین به شکل کلروپلاتینیک اسید در حضور ۲ میلی‌گرم در لیتر کلرید کبالت شش آبه تولید می‌شود. این واحد با واحد هازن که سابقاً برای تخمین رنگ آب استفاده می‌شد تعیین می‌شود [۱۸]. نمونه قبل از اندازه‌گیری صاف شده و در صورت لزوم با آب مقطر رقیق می‌شد.

<sup>1</sup> Closed Reflux, Colorimetric Method

<sup>2</sup> Velp Scientifica, Eco 16 Thermoreactor, Europe

<sup>3</sup> Palintest Photometer

<sup>4</sup> SigmaPlot

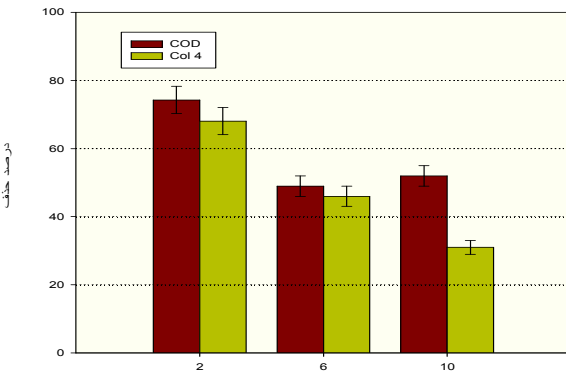


شکل ۳- تأثیر pH محلول بر روند حذف COD و رنگ در فرآیند ازن زنی

این واکنش‌ها را محدود می‌کند. اسیدهای کربوکسیلیک و آلدهیدها، ترکیبات نهایی فرایند ازن زنی در شرایط اسیدی هستند، در حالی که تجمع کربنات به علت معدنی شدن ترکیبات آلی در pH قلیایی محصول نهایی ازن زنی است [۲۴].

شکل ۴، اثر pH محلول روی درصد ازن مصرفی و کارایی ازن را در فرآیند ازن زنی تنها نشان می‌دهد. با توجه به شکل مشاهده می‌شود که با افزایش pH میزان مصرف ازن از ۴۸ درصد در pH برابر ۲ به ۹۳ درصد در pH برابر ۱۰ می‌رسد، ولی کارایی ازن از ۴۳/۳ در pH برابر ۲ به ۱۱/۴ در pH برابر ۶ و در نهایت در pH برابر ۱۰ به ۵ mg COD/mg O<sub>3</sub> کاهش می‌یابد. دلیل کاهش درصد حذف COD با افزایش pH را می‌توان به عوامل مصرف کننده رادیکال هیدروکسیل که در این شرایط واکنش دهنده غالب است، توسط ترکیبات موجود در ویناس نسبت داد. ویناس حاوی غلظت بالایی از بیکربنات است که به عنوان مصرف کننده رادیکال عمل می‌کند ولی در عوض تولید رادیکال بیکربنات (HCO<sub>3</sub><sup>-</sup>) می‌کند که گونه‌ای بسیار انتخابی است و واکنش پذیری آن بسیار پایین‌تر از رادیکال هیدروکسیل است [۱۴ و ۲۵]. این روند بیانگر این است که در pH بالا رادیکال‌ها را درگیر کرده و از کارایی آن می‌کاهد. بنابراین درصد کاهش COD در pH پایین بیشتر از pH بالا است هرچند درصد ازن مصرفی در pH بالا بیشتر است. پس در تصفیه ویناس اکسیداسیون مستقیم توسط ازن مولکولی در فرآیند ازن زنی در pH پایین کارایی بیشتری اکسیداسیون غیر مستقیم (رادیکال هیدروکسیل) در pH بالا دارد. تغییر اندک حذف رنگ با افزایش pH، به این علت است که رادیکال هیدروکسیل (E° O<sub>3</sub>/O<sub>2</sub> = ۲/۰.۸ V) سریع‌تر از ازن (E° OH/OH = ۰.۸/۲ V) است [۲۳]. در هر دو مکانیسم، ترکیباتی که مقاوم به ازن باشند یا به عنوان مصرف کننده رادیکال هیدروکسیل عمل کنند

تعامل بین جاذب و ماده جذب شده اثر می‌گذارد. عامل pH نه تنها ماهیت گروههای عامل اسیدی آلی مولکول‌ها را تغییر می‌دهد، بلکه ساختار مکان‌های جذب در کربن فعال را نیز از نظر وضعیت پروتون تحت تأثیر قرار می‌دهد. نسبت گروههای اسیدی در ترکیباتی مانند پلی فنول‌ها در مواد آلی مانند ویناس که اکثرًا عامل رنگ هستند، بیشتر از سایر ترکیبات آلی است. بنابراین در ویناس اثر تغییر pH بر حذف رنگ بیشتر از حذف COD یا کل کربن آلی است [۲۰].



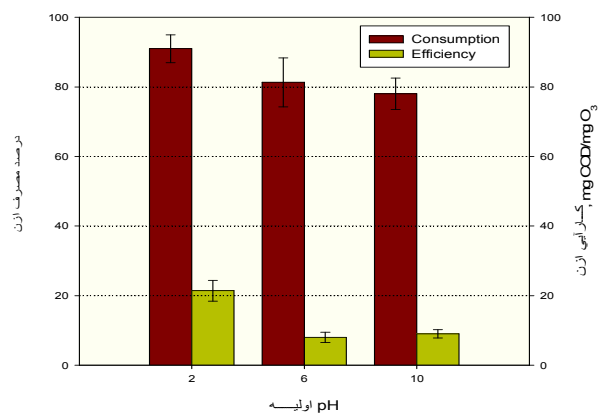
شکل ۲- تأثیر pH بر عملکرد GAC در حذف رنگ و COD در سیستم پیوسته

۲-۳- اثر pH بر رفتار ازن در حذف رنگ و COD

شکل ۳ اثر pH محلول بر روند حذف رنگ و COD را در حضور ازن نشان می‌دهد. میزان ویناس و روودی ۱۰۰۰ میلی‌گرم در لیتر و میزان ازن و روودی ۲۴۰ میلی‌گرم در ساعت بود. با توجه به شکل ۳ مشاهده می‌شود که با افزایش pH از میزان کاهش COD کاسته می‌شود و در pH های ۲، ۶ و ۱۰ به ترتیب به ۱۳، ۲۵ و ۹ درصد می‌رسد. در مورد رنگ نیز این روند دیده می‌شود ولی میزان کاهش آن کمتر است و در این مقادیر pH به ترتیب به ۷۶، ۶۲ و ۶۲ درصد می‌رسد؛ اگرچه در pH برابر ۶ نسبت به pH برابر ۲، اندکی افزایش می‌یابد. ترکیبات حساس به ازن شامل ترکیباتی با پیوند دوگانه C=C، گروههای عاملی ویژه (OH, CH<sub>3</sub>, OCH<sub>3</sub>) و اتم‌های دارای بار منفی (N, P, O, S) هستند. ازن زنی ترکیبات آلی محلول در آب معمولاً تولید مواد آلی اکسیژن‌دار و اسیدهای آلی با وزن مولکولی پایین می‌کند که باعث افزایش تجزیه پذیری زیستی آن می‌شود [۲۱، ۲۲]. در شرایط pH قلیایی تجزیه ازن منجر به تولید رادیکال هیدروکسیل می‌شود که یک اکسنده قوی و غیر انتخابی است. در حالی که در شرایط اسیدی اکسیداسیون مستقیم توسط ازن صورت می‌گیرد که یک اکسید کننده انتخابی است [۲۳]. در هر دو مکانیسم، ترکیباتی که مقاوم به ازن باشند یا به عنوان مصرف کننده رادیکال هیدروکسیل عمل کنند

در واکنش با ازن به سبب تغییر در ساختار آنها کاهش رنگ اتفاق می‌افتد [۲۱، ۲۲].

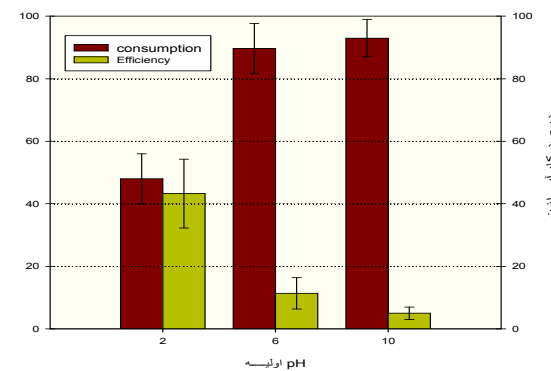
شکل ۶ نشان می‌دهد که درصد مصرف ازن و کارایی آن با افزایش pH در فرایند توأم کاهش می‌یابد. درصد ازن مصرفی از ۹۳ درصد در pH برابر ۲ به  $\frac{81}{3}$  درصد در pH برابر ۶ و در نهایت به ۷۸ درصد در pH برابر ۱۰ می‌رسد، در حالی که کارایی ازن با همین روند کاهشی از  $\frac{21}{4}$  mgCOD/mg O<sub>3</sub> در pH ۲ به  $\frac{9}{6}$  mgCOD/mg O<sub>3</sub> در pH ۹ به  $\frac{8}{10}$  mg COD/mg O<sub>3</sub> در pH ۸ به  $\frac{1}{10}$  mg COD/mg O<sub>3</sub> در pH ۷ به  $\frac{0}{25}$  mg COD/mg O<sub>3</sub> در pH ۶ به  $\frac{0}{40}$  mg COD/mg O<sub>3</sub> در pH ۵ به  $\frac{0}{50}$  mg COD/mg O<sub>3</sub> در pH ۴ به  $\frac{0}{55}$  mg COD/mg O<sub>3</sub> در pH ۳ به  $\frac{0}{60}$  mg COD/mg O<sub>3</sub> در pH ۲ به  $\frac{0}{65}$  mg COD/mg O<sub>3</sub> در pH ۱ به  $\frac{0}{70}$  mg COD/mg O<sub>3</sub> در pH ۰ به  $\frac{0}{78}$  mg COD/mg O<sub>3</sub> در pH ۰ می‌رسد. همان‌طور که قبلاً گفته شد درصد مصرف ازن با افزایش pH در فرایند ازن زنی افزایش می‌یابد، اما در فرایند ترکیبی با GAC مکانیسم متفاوتی اتفاق می‌افتد و با افزایش pH هم کارایی و هم مصرف ازن کاهش می‌یابد. کربن فعال در محلول حاوی ازن می‌تواند نقش کاتالیزور را داشته باشد؛ با این حال هنوز مکانیسم دقیق آن درک نشده است. برای روش ساختن اینکه آیا کربن فعال به عنوان یک کاتالیزور برای تجزیه ازن محلول و تبدیل آن به رادیکال هیدروکسیل عمل می‌کند یا نه، فهم دقیق مکانیسم واکنش مفید خواهد بود [۲۶].



شکل ۶- درصد مصرف ازن و کارایی آن با افزایش pH در فرایند توأم

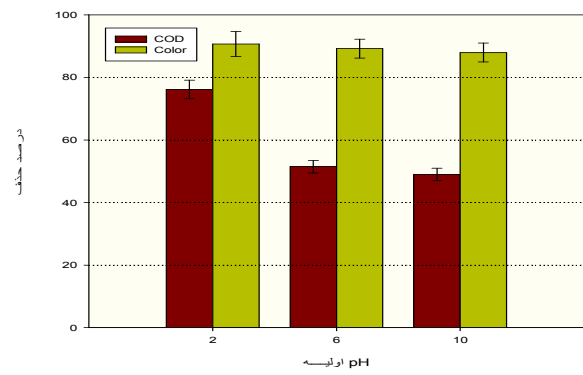
تجزیه ازن محلول در حضور GAC شدیداً تحت تأثیر pH محلول است [۲۷]. از pH ۲ تا ۶ واکنش ازن در سطح کربن فعال از نوع رادیکالی نیست در حالی که در pH بیشتر از ۶ رادیکال هیدروکسیل وارد واکنش می‌گردد که به‌طور مستقیم با ازن و مکان‌های فعال دارای عامل OH در سطح کربن فعال، واکنش می‌دهد [۲۶]. مکان‌هایی که باعث تجزیه ازن در سطح کربن فعال می‌گردد لایه‌های گرافیتی با الکترون‌های پای جفت نشده و گروه‌های عاملی با ماهیت بازی هستند که به عنوان بازه‌های لویس عمل می‌کنند و ازن را به ترتیب به OH<sup>-</sup> و H<sub>2</sub>O<sub>2</sub> می‌کاہند. این

رادیکال بیکربنات تولید شده در pH بالا توانایی تخریب پیوندهای گروه‌های عاملی را دارد بنابراین ترکیبات آلی با تجزیه پذیری بسیار پایین موجود در ملاس را بدون تغییر باقی می‌گذارد.



شکل ۴- میزان مصرف و کارایی ازن در pH های مختلف در فرایند ازن زنی

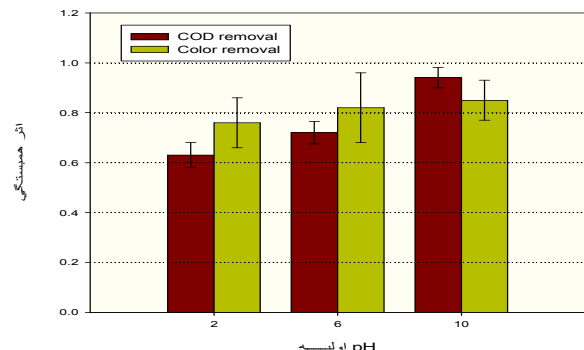
**۳-۳- تأثیر pH در فرایند توأم ازن و GAC**  
در این فرایند برای کاهش رنگ و COD از ازن و GAC به طور همزمان استفاده شد. مقدار ازن ۲۴۰ میلی‌گرم در ساعت، میزان COD ۱۰۰۰ میلی‌گرم در لیتر و مقدار GAC ۱۰۰ گرم بود. شکل ۵ نشان می‌دهد با افزایش pH روند کاهش در میزان حذف COD مشهود است، با این تفاوت که درصد حذف رنگ تقریباً بدون تغییر است و در pH های ۲، ۶ و ۱۰ به ترتیب به  $\frac{73}{25}$ ،  $\frac{90}{25}$  و  $\frac{89}{25}$  درصد برای رنگ و  $\frac{49}{51}$ ،  $\frac{51}{51}$  و  $\frac{49}{51}$  درصد برای COD می‌رسد.



شکل ۵- تغییر روند کاهش رنگ و حذف COD در pH های مختلف در فرایند توأم

با افزایش pH میزان حذف COD به دلیل تغییر فرایندهای اکسیداسیون کاهش می‌یابد [۲۳]. این طور به نظر می‌رسد که در فرایند ازن زنی حذف رنگ سریع‌تر و بیشتر از حذف COD اتفاق می‌افتد. علت این موضوع وجود ترکیبات دارای گروه‌های عاملی حساس به ازن است که عموماً علت ایجاد رنگ در محلول هستند و

**۴-۳- بررسی اثر همافزایی ازن و GAC** در بخش گذشته روند حذف رنگ و کاهش COD توسط فرایندهای ازن زنی، جذب توسط GAC و ترکیب این دو فرایند بحث گردید. هدف عمدۀ این تحقیق بررسی استفاده توأم از ازن و GAC در یک سیستم پیوسته به منظور تصفیه ویناس بود. نتایج حاصل از آزمایش‌ها نشان داد که استفاده توأم، اثر همافزایی در تصفیه ویناس ندارد. با توجه به شکل ۷ مشاهده می‌گردد که استفاده توأم دارای اثر همیشه نبوده و دارای اثر معکوس است. ولی با افزایش pH این اثر معکوس کم شده و فاکتور تعریف شده R، به سمت ۱ میل می‌کند. لی و همکاران در استفاده توأم ازن و GAC در تصفیه پساب صنعتی در pH قلیابی، به اثر همافزایی برابر  $1/3$  رسیده بودند، هرچند آنها عنوان کرده‌اند که مولکول‌های مواد آلی در مقایسه با ترکیبات ثانویه ناشی از فرایند اکسیداسیون، بهتر جذب کربن فعال می‌شوند و این نه تنها عامل بازدارنده برای اثر همافزایی است بلکه اثر منفی در فرایند توأم دارد [۱۶]. ولی این احتمال می‌رود که ترکیبات ویژه محلول در ویناس بر این روند اثر می‌گذارد. البته خصوصیات و مقدار GAC استفاده شده نیز از اهمیت زیادی برخوردار است. چون آنها عنوان کرده بودند که در سیستم ناپیوسته با افزایش میزان GAC، درصد مصرف ازن افزایش می‌یابد.

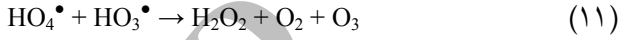


شکل ۷- تغییر اثر همافزایی در کاهش رنگ و COD با تغییر pH در فرایند توأم

#### ۴- نتیجه‌گیری

تصفیه ویناس در سه فرایند ازن زنی، جذب توسط GAC و فرایند توأم به میزان زیادی متأثر از مقدار pH اولیه محلول است. نتایج آزمایش‌ها نشان داد که ازن زنی اثر قابل توجهی در حذف رنگ از ویناس به میزان ۷۶ درصد دارد. در حالی که اثر ازن در کاهش COD ویناس ۲۵ درصد است. بیشترین حذف COD و رنگ توسط GAC به ترتیب ۷۴ و ۶۷ درصد بود. مطالعات نشان داد که استفاده توأم از ازن و GAC در تصفیه ویناس نه تنها اثر همافزایی ندارد بلکه اثر آن کمتر از اثر مجموع دو فرایند ازن زنی و جذب توسط GAC است.

گونه‌ها، واکنش‌های زنجیری رادیکالی را در محیط محلول آغاز می‌کنند [۲۸]. این واکنش‌های زنجیری به صورت زیر هستند [۲۹]:



آنچه که از نتایج این تحقیق حاصل می‌شود گویای این مطلب است که در حضور کربن فعال، ازن بجای واکنش با ترکیبات آلی محلول در ویناس تبدیل به رادیکال‌هایی می‌شود که در نهایت با واکنش بین خود، از بین می‌روند. در فرایند ازن زنی در pH برابر ۲، درصد حذف COD دیده شد، ولی در ترکیب با کربن فعال فقط ۲ درصد به میزان حذف GAC اضافه شد و از  $\frac{74}{2}$  به  $\frac{76}{2}$  درصد افزایش یافت که این موضوع به سبب تأثیر منفی استفاده توأم از این دو فرایند بوده است. افزوده شدن به فاکتور R (نمایه اثر همافزایی) از pH ۲ تا ۱۰ تنها به سبب کاهش ظرفیت حذف GAC بوده است که تحت تأثیر pH میزان آن از ۵۴ به ۷۴ درصد کاهش پیدا کرده است. با توجه به نتایج حاصل، کارایی ازن از  $mg\ COD/mgO_3$  در pH ۴/۳-۳/۴ در  $mg\ COD/mgO_3$  در pH ۱۰ کاهش یافته است.

آنچه که مسلم است مکانیسم واکنش ازن در حضور GAC و pH‌های مختلف، متفاوت است. تأثیر حضور کربن فعال در فرایند ازن زنی عمده‌تاً به سبب شتاب بخشیدن به تجزیه ازن محلول به رادیکال هیدروکسیل است که یک اکسیده قوی است و به سرعت با اغلب آلاینده‌های آب و واکنش نشان داده و جزو فرایند اکسیداسیون پیشرفت<sup>۱</sup> محسوب می‌شود [۳۰]. کارایی GAC در تبدیل ازن به رادیکال هیدروکسیل وابسته به مساحت سطح، حجم منافذ و قدرت بازی GAC است. در حالی که وجود برخی ترکیبات در محلول مانند استات سدیم باعث مصرف رادیکال تولید شده توسط ازن می‌گردد. برخی ترکیبات مانند متانول نیز باعث تبدیل رادیکال هیدروکسیل به  $O_2^-$  می‌شود که در عوض با ازن مولکولی واکنش می‌دهد [۳۱].

<sup>1</sup> Advanced Oxidation Process (AOP)

- 1- Wilkie, A.C., Riedesel, K.J., and Owens, J.M. (2000). "Stillage characterization and anaerobic treatment of ethanol stillage from conventional and cellulosic feedstocks." *Biomass and Bioenergy*, 19 (2), 63-102.
- 2- Navarro, A.R., Sepulveda, M., Del C., and Rubio, M. C. (2000). "Bio-concentration of vinasse from the alcoholic fermentation of sugar cane molasses." *Waste Management*, 20 (7), 581-585.
- 3- Satyawali, Y., and Blakrishnan, M. (2008). "Wastewater treatment in molasses-based alcohol distilleries for COD and color removal." *J. of Environmental Management*, 86 (3), 481-497.
- 4- Kalavathi, D.F., Uma, L., and Subramanian, G. (2001). "Degradation and metabolism of the pigment-melanoidin in a distillery effluent by the marine cyanobacterium Oscillatoria boryana BDU 92181." *Enzyme and Microbial Technology*, 29 (4-5), 246-251.
- 5- Martins, S.I.F.S., and Van Boekel, M.A.J.S. (2004). "A kinetic model for the glucose/glycine Maillard reaction pathways." *Food Chemistry*, 90 (1-2), 257-269.
- 6- Godshall, M.A. (1999). "Removal of colorants and polysaccharides and the quality of white sugar." *Proceedings of Sixth International Symposium Organized by Association Andrew van Hook (AvH)*, Reims, France, 28-35.
- 7- Jain, N., Minocha, A.K., and Verma, C.L. (2002). "Degradation of predigested distillery effluent by isolated bacterial strains." *Indian J. of Experimental Biology*, 40 (1), 101-105.
- 8- Bernardo, E.C., Egashira, R., and Kawasaki, J. (1997). "Decolorization of molasses wastewater using activated carbon prepared from cane bagasse." *Carbon*, 35 (9), 1217-1221.
- 9- Chandra, R., and Pandey, P.K. (2000). "Decolorization of anaerobically treated distillery effluent by activated charcoal adsorption method." *Indian J. of Environmental Protection*, 21 (2), 134-137.
- 10- Sekar, D., and Murthy, D.V.S. (1998). "Color removal of distillery spentwash by adsorption technique." *Indian Chemical Engineer. Section A.*, 40 (4), 176-181.
- 11- Sreethawong, T., and Chavadej, S. (2008). "Color removal of distillery wastewater by ozonation in the absence and presence of immobilized iron oxide catalyst." *J. Hazard. Mater*, 155 (3), 486-493.
- 12- Alvarez, A.P.M., Garcia-Araya, J.F., Beltran, F.J., Giraldez I., Jaramillo, J., and Gomez-Serrano, V. (2006). "The influence of various factors on aqueous ozone decomposition by granular activated carbons and the development of a mechanistic approach." *Carbon*, 44 (2), 3102-3112.
- 13- Mandal, A., Ojha, K., and Ghosh, D.N. (2003). "Removal of color from distillery wastewater by different processes." *Indian Chemical Engineer Section B*, 45 (4), 264-267.
- 14- Oguz, E., and Keskinler, B. (2007). "Comparison among O<sub>3</sub>, PAC adsorption, O<sub>3</sub>/HCO<sub>3</sub><sup>-</sup>, O<sub>3</sub>/H<sub>2</sub>O<sub>2</sub> and O<sub>3</sub>/PAC processes for the removal of Bomaplex Red CR-L dye from aqueous solution." *Dyes and Pigments*, 74 (2), 329-334.
- 15- Oguz, E., and Keskinler, B. (2008). "Removal of colour and COD from synthetic textile wastewaters using O<sub>3</sub>, PAC, H<sub>2</sub>O<sub>2</sub> and HCO<sub>3</sub><sup>-</sup>." *J. of Hazardous Materials*, 151 (2-3), 753-760.
- 16- Lei, L., Gu, L., Zhang, X., and Su, Y. (2007). "Catalytic oxidation of highly concentrated real industrial wastewater by integrated ozone and activated carbon." *Applied Catalysis A: General*, 327 (2), 287-294.
- 17- APHA., AWWA. (1998). *Standard Methods for the Examination of Water and Wastewater*, 20<sup>th</sup> Ed. American Public Health Association (APHA), American Water Works Association, Water Environment Federation, Washington, DC.
- 18- Yetilmezsoy, K., and Sakar, S. (2008). "Improvement of COD and color removal from UASB treated poultry manure wastewater using Fenton's oxidation." *J. of Hazardous Materials*, 151 (2-3), 547-558.
- 19- Nyangiro, D. (2003). "New application of ozone in the treatment of chemical pulps." Ph.D. Thesis, EFPG/INPG, France.

- 20- Caqueret, V., Bostyn, S., Cagnon, B., and Fauduet, H. (2008). "Purification of sugar beet vinasse – adsorption of polyphenolic and dark colored compounds on different commercial activated carbons." *Bioresource Technology*, 99 (13), 5814-5821.
- 21- Gilbert, E. (1988). "Biodegradability of ozonation products as a function of COD and DOC elimination by example of substituted aromatic substances." *Water Res.*, 22 (1), 123-126.
- 22- Contreras, S., Rodriguez, M., Momani, F.A., Sans, S., and Esplugas, S. (2003). "Contribution of the ozonation pre-treatment to the biodegradation of aqueous solution of 2,4-dichlorophenol." *Water Res.*, 37 (13), 3164-3174.
- 23- Sangave, P.C., Gogate, P.R., and Pandit, A.B. (2007). "Combination of ozonation with conventional aerobic oxidation for distillery wastewater treatment." *Chemosphere*, 68 (1), 32-41.
- 24- Beltran, F.J., Garcia-Araya, J.F., and Alvarez, P.M. (2001). "pH sequential ozonation of domestic and wine-distillery wastewaters." *Water Res.*, 35(4), 929-936.
- 25- Glaze, W.L., and Kang, J.W. (1987). "The chemistry of water treatment processes involving ozone, hydrogen peroxide and ultraviolet radiation." *Ozone Sci. Eng.*, 9 (4), 335-352.
- 26- Alvarez, P.M., Garcia-Araya, J.F., Beltran, F.J., Masa, F.J., and Medina, F. (2005). "Ozonation of activated carbons: Effect on the adsorption of selected phenolic compounds from aqueous solutions." *J. of Colloid and Interface Science*, 283 (2), 503-512.
- 27- Beltran, F.J., Rivas, J., Alvarez, P., and Montero-de-Espinosa, R. (2002). "Kinetics of heterogeneous catalytic ozone decomposition in water on an activated carbon." *Ozone Sci. Eng.*, 24(4), 227-237.
- 28- Sanchez-Polo, A., and Rivera-Utrilla, J. (2003). "Effect of the ozone–carbon reaction on the catalytic activity of activated carbon during the degradation of 1,3,6-naphthalenetrisulphonic acid with ozone." *Carbon*, 41(2), 303-307.
- 29- Staehelin, J., and Hoigne, J. (1985). "Decomposition of ozone in water in the presence of organic solutes acting as promoters and inhibitors of radical chain reactions." *Environ. Sci. Technol.*, 19 (12), 1206-1213.
- 30- Jans, U., and Hoigne, J. (1998). "Activated carbon and carbon black catalyzed transformation of aqueous ozone into OH-radicals." *Ozone Sci. Eng.*, 20(1), 67-90.
- 31- Sanchez-Polo, M., Leyva-Ramos, R., and Rivera-Utrilla, J. (2005). "Kinetics of 1,3,6-halogenetrisulphonic acid ozonation in the presence of activated carbon." *Carbon*, 43(5), 962-990.